

Starkniederschlagshöhen und -spenden gemäß KOSTRA-DWD-2010R

Auswertungszeitraum von 1951 - 2010, Januar - Dezember

Rasterfeld: 13035

Zeile: 13

Spalte: 35

Seite: 1/2

| Dauerstufe D | | Wiederkehrzeit T | | | | | | | | | | | | | | | | | |
|--------------|-----|------------------|------------|------|------------|------|------------|------|------------|------|------------|------|------------|------|------------|-------|------------|-------|------------|
| | | 1 a | | 2 a | | 3 a | | 5 a | | 10 a | | 20 a | | 30 a | | 50 a | | 100 a | |
| min | Std | mm | l / (s ha) | mm | l / (s ha) | mm | l / (s ha) | mm | l / (s ha) | mm | l / (s ha) | mm | l / (s ha) | mm | l / (s ha) | mm | l / (s ha) | mm | l / (s ha) |
| 5 | | 4,2 | 140,0 | 5,6 | 186,7 | 6,5 | 216,7 | 7,5 | 250,0 | 9,0 | 300,0 | 10,4 | 346,7 | 11,2 | 373,3 | 12,3 | 410,0 | 13,7 | 456,7 |
| 10 | | 6,8 | 113,3 | 8,7 | 145,0 | 9,9 | 165,0 | 11,4 | 190,0 | 13,3 | 221,7 | 15,3 | 255,0 | 16,5 | 275,0 | 17,9 | 298,3 | 19,9 | 331,7 |
| 15 | | 8,5 | 94,4 | 10,9 | 121,1 | 12,3 | 136,7 | 14,1 | 156,7 | 16,4 | 182,2 | 18,8 | 208,9 | 20,2 | 224,4 | 22,0 | 244,4 | 24,4 | 271,1 |
| 20 | | 9,7 | 80,8 | 12,5 | 104,2 | 14,1 | 117,5 | 16,1 | 134,2 | 18,8 | 156,7 | 21,6 | 180,0 | 23,2 | 193,3 | 25,2 | 210,0 | 27,9 | 232,5 |
| 30 | | 11,4 | 63,3 | 14,7 | 81,7 | 16,7 | 92,8 | 19,1 | 106,1 | 22,4 | 124,4 | 25,7 | 142,8 | 27,7 | 153,9 | 30,1 | 167,2 | 33,4 | 185,6 |
| 45 | | 12,9 | 47,8 | 16,9 | 62,6 | 19,2 | 71,1 | 22,2 | 82,2 | 26,2 | 97,0 | 30,2 | 111,9 | 32,5 | 120,4 | 35,5 | 131,5 | 39,5 | 146,3 |
| 60 | | 13,8 | 38,3 | 18,4 | 51,1 | 21,1 | 58,6 | 24,4 | 67,8 | 29,0 | 80,6 | 33,6 | 93,3 | 36,3 | 100,8 | 39,6 | 110,0 | 44,2 | 122,8 |
| 90 | | 15,3 | 28,3 | 20,2 | 37,4 | 23,1 | 42,8 | 26,7 | 49,4 | 31,7 | 58,7 | 36,6 | 67,8 | 39,5 | 73,1 | 43,1 | 79,8 | 48,1 | 89,1 |
| 120 | 2 | 16,4 | 22,8 | 21,6 | 30,0 | 24,7 | 34,3 | 28,5 | 39,6 | 33,7 | 46,8 | 38,9 | 54,0 | 42,0 | 58,3 | 45,8 | 63,6 | 51,0 | 70,8 |
| 180 | 3 | 18,2 | 16,9 | 23,8 | 22,0 | 27,1 | 25,1 | 31,2 | 28,9 | 36,9 | 34,2 | 42,5 | 39,4 | 45,8 | 42,4 | 49,9 | 46,2 | 55,5 | 51,4 |
| 240 | 4 | 19,6 | 13,6 | 25,5 | 17,7 | 29,0 | 20,1 | 33,3 | 23,1 | 39,2 | 27,2 | 45,2 | 31,4 | 48,6 | 33,8 | 53,0 | 36,8 | 58,9 | 40,9 |
| 360 | 6 | 21,7 | 10,0 | 28,1 | 13,0 | 31,8 | 14,7 | 36,5 | 16,9 | 42,9 | 19,9 | 49,3 | 22,8 | 53,0 | 24,5 | 57,7 | 26,7 | 64,1 | 29,7 |
| 540 | 9 | 24,0 | 7,4 | 30,9 | 9,5 | 34,9 | 10,8 | 40,0 | 12,3 | 46,9 | 14,5 | 53,8 | 16,6 | 57,8 | 17,8 | 62,9 | 19,4 | 69,8 | 21,5 |
| 720 | 12 | 25,8 | 6,0 | 33,1 | 7,7 | 37,3 | 8,6 | 42,7 | 9,9 | 50,0 | 11,6 | 57,2 | 13,2 | 61,5 | 14,2 | 66,8 | 15,5 | 74,1 | 17,2 |
| 1080 | 18 | 28,6 | 4,4 | 36,4 | 5,6 | 41,0 | 6,3 | 46,8 | 7,2 | 54,6 | 8,4 | 62,5 | 9,6 | 67,1 | 10,4 | 72,8 | 11,2 | 80,7 | 12,5 |
| 1440 | 24 | 30,7 | 3,6 | 39,0 | 4,5 | 43,8 | 5,1 | 49,9 | 5,8 | 58,2 | 6,7 | 66,5 | 7,7 | 71,3 | 8,3 | 77,4 | 9,0 | 85,7 | 9,9 |
| 2880 | 48 | 40,4 | 2,3 | 49,6 | 2,9 | 55,0 | 3,2 | 61,8 | 3,6 | 71,0 | 4,1 | 80,2 | 4,6 | 85,5 | 4,9 | 92,3 | 5,3 | 101,5 | 5,9 |
| 4320 | 72 | 47,5 | 1,8 | 57,2 | 2,2 | 62,9 | 2,4 | 70,1 | 2,7 | 79,8 | 3,1 | 89,5 | 3,5 | 95,2 | 3,7 | 102,4 | 4,0 | 112,1 | 4,3 |

Angaben in mm: Bemessungsniederschlagswerte h(n)

Angaben in l / (s ha): Regenspende R(n) mit $R(n) = h(n) \times 1,666667 / D[\text{min}]$

Toleranzbereiche:

+/- 10 % für $1 a \leq T \leq 5 a$

+/- 15 % für $5 a < T \leq 50 a$

+/- 20 % für $50 a < T \leq 100 a$

Datenbasis: KOSTRA-DWD-2010R des Deutschen Wetterdienstes. Die Regenspende wurde auf Basis des Bemessungsniederschlags zur jeweiligen Andauer berechnet.

Für die Richtigkeit und Aktualität der Angaben wird keine Gewähr übernommen. Erstellt 07/2022.

Starkniederschlagshöhen und -spenden gemäß KOSTRA-DWD-2010R

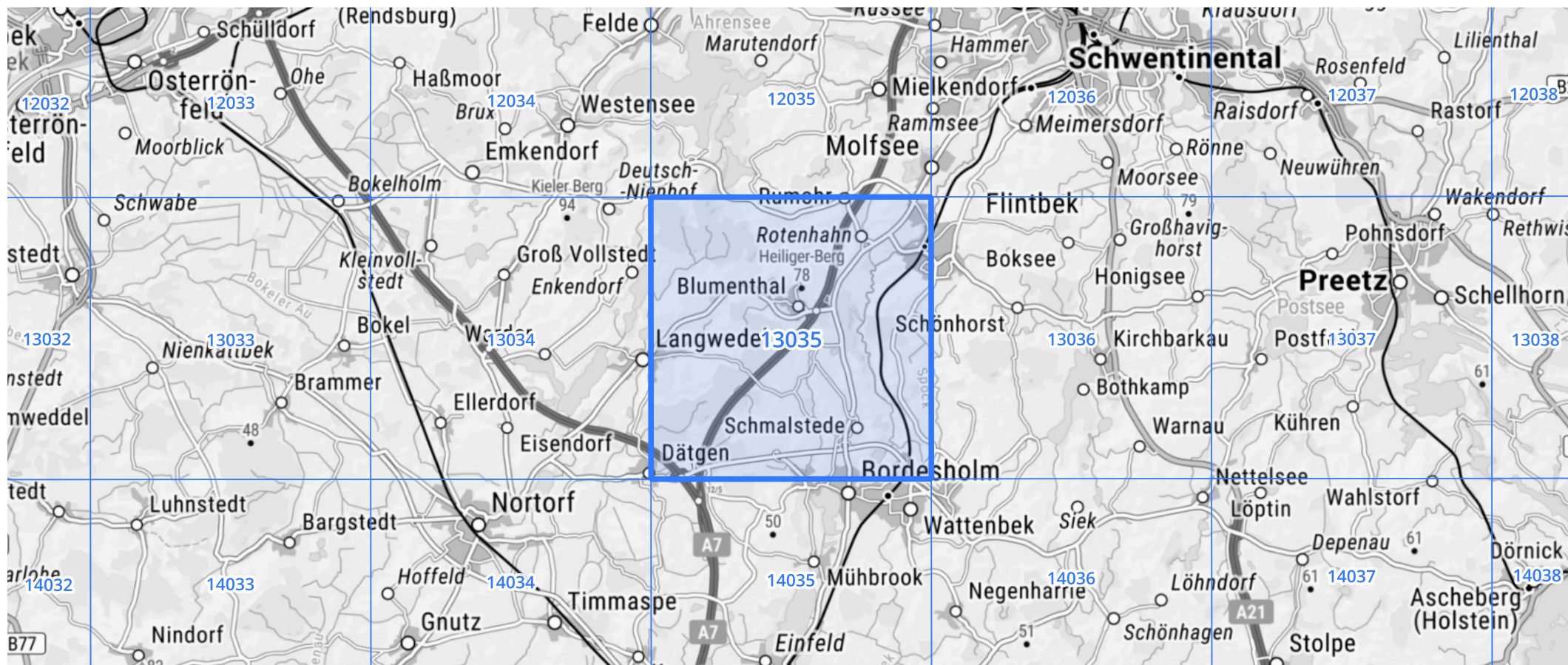
Auswertungszeitraum von 1951 - 2010, Januar - Dezember

Rasterfeld: 13035

Zeile: 13

Spalte: 35

Seite: 2/2



Quelle Rasterdaten: KOSTRA-DWD-2010R des Deutschen Wetterdienstes.

Kartendarstellung: © Bundesamt für Kartographie und Geodäsie (2022), Datenquellen: https://sgx.geodatenzentrum.de/web_public/gdz/datenquellen/Datenquellen_TopPlusOpen.html

Für die Richtigkeit und Aktualität der Angaben wird keine Gewähr übernommen. Erstellt 07/2022.